



Universidade do Minho
Escola de Engenharia
Licenciatura em Engenharia Informática

Inteligência Artificial

Ano Letivo de 2025/2026

Grupo 06

João Delgado
A106836

Nelson Mendes
A106884

Simão Mendes
A106928

Tomás Machado
A104186

January 13, 2026

IA

Índice

1. Avaliação por Pares	1
2. Descrição do Problema	2
2.1. Representação do Estado (S)	2
2.2. Estado Inicial (S_0)	2
2.3. Operadores e Espaço de Ações (A)	2
2.4. Teste de Objetivo (T)	3
2.5. Função de Custo da Solução (C)	3
3. Representação da Cidade e os seus Pontos Críticos	4
3.1. Aquisição e Processamento de Dados Geográficos	4
3.2. Nós e Classificação Zonal	4
3.3. Arestas e Custo de Travessia	5
4. Desenvolvimento e Comparação de Diferentes Estratégias de Procura	6
4.1. Formalização Matemática da Função de Custo e Heurística	6
4.1.1. Função de Custo ($c(n)$)	6
4.1.2. Função Heurística ($h(n)$)	7
4.2. Estratégias de Procura Não-Informada	7
4.3. Estratégias de Procura Informada	8
5. Implementação do Sistema de Simulação Dinâmica	9
5.1. Arquitetura e Comunicação do Sistema	9
5.2. Dinâmica de Simulação e Comportamento do Sistema	9
5.3. Funcionalidades Principais da Interface	9
5.4. Gestão de Concorrência e Estado do Sistema	10
6. Avaliação da Eficiência dos Algoritmos	11
6.1. Metodologia de Teste e Métricas	11
6.2. Análise Comparativa e Otimizações	11
6.2.1. Desempenho do A^* (A -Star) vs. Custo Uniforme (UCS)	11
6.2.2. <i>Weighted A[*]</i> vs. <i>Greedy</i>	12
6.2.3. Estratégias de Base (BFS e DFS)	12
6.3. Resultados Obtidos	13
6.3.1. Interpretação dos Resultados	14
7. Simulação de Condições Dinâmicas	15
7.1. Modelação de Trânsito e Fenómenos Atmosféricos	15
7.2. Falhas na Infraestrutura de Carregamento	16
7.3. Geração Aleatória de Pedidos	16
8. Sumário e Discussão dos Resultados Obtidos	17

9. Anexos	19
9.1. Anexo A - Diagrama de Classes	19
9.2. Anexo B - <i>Script de Benchmarking</i>	20
9.3. Anexo C - Estudo da Heurística e Otimização	22
9.3.1. O Problema: Custo Computacional da Heurística	22
9.3.2. A Solução: <i>Cache de Heurística ($O(1)$)</i>	23
9.3.3. Impacto nos Resultados	23
10. Bibliografia	24

1. Avaliação por Pares

De acordo com as orientações fornecidas no enunciado, o grupo realizou uma avaliação interna do contributo de cada elemento no desenvolvimento do trabalho. Esta análise teve por objetivo **refletir**, de forma justa e transparente, **o empenho, a participação e o impacto de cada membro** na elaboração do instrumento.

Atribuiu-se a cada elemento um delta, que corresponde a uma parcela a somar (ou subtrair) ao valor desta componente avaliativa. Os **deltas podem ser positivos, nulos ou negativos**, devendo, no seu conjunto, totalizar 0.00, garantindo assim um equilíbrio global dentro do grupo.

A tabela abaixo **apresenta os deltas** definidos coletivamente para cada membro, refletindo o contributo relativo de cada um ao longo do desenvolvimento do trabalho.

N.º	Nome	DELTA
A106836	João Delgado	0
A106884	Nelson Mendes	0
A106928	Simão Mendes	0
A104186	Tomás Machado	0

Tabela 1: Avaliação por Pares

2. Descrição do Problema

O projeto **TaxiGreen** visa a otimização da gestão de uma **frota heterogénea** (veículos de combustão e elétricos) num ambiente urbano real. O problema central consiste na alocação eficiente de recursos a tarefas dinâmicas, num grafo de grande escala, sob restrições de autonomia e com objetivos conflituosos de minimização de tempo, custos operacionais e impacto ambiental.

De acordo com a metodologia de Resolução de Problemas abordada na Unidade Curricular, o problema é formalmente definido pela quíntupla (S, S_0, A, T, C) :

2.1. Representação do Estado (S)

O estado do sistema num instante t é uma representação complexa que agrupa as variáveis do ambiente e dos agentes:

- **Estado da Frota:** Para cada veículo v , define-se a sua localização (nó $n \in V$), carga/combustível atual ($E_{\{curr\}}$), estado operacional (LIVRE, OCUPADO ou A_CARREGAR), capacidade de passageiros e **tipo de motorização** (diferenciando custos e necessidades de recarga);
- **Estado do Ambiente:** Inclui a lista de pedidos pendentes, P , onde cada pedido especifica **prioridade, prazo e preferência ambiental**. Inclui também as condições dinâmicas das arestas (tráfego), que variam consoante a zona (Central ou Periférica).

2.2. Estado Inicial (S_0)

Corresponde à configuração da simulação em $t = 0$, onde a frota é instanciada em nós aleatórios ou predefinidos, com níveis iniciais de energia e sem pedidos ativos. O grafo G encontra-se carregado com os dados estáticos da **API do OpenStreetMap**.

2.3. Operadores e Espaço de Ações (A)

As transições entre estados são governadas por operadores que transformam o estado físico e lógico dos agentes:

- **Move(v , n_{dest})**: Deslocação do veículo para um nó adjacente.
 - **Pré-condição:** O nó $n_{\{dest\}}$ deve ser adjacente ao atual, o veículo v deve ter energia suficiente para o trajeto e não pode estar em estado de carregamento.
 - **Efeito:** Atualização da localização para $n_{\{dest\}}$, redução da energia $E_{\{curr\}}$ e incremento do tempo global t .

- **Pickup(v, p)**: Recolha do passageiro p pelo veículo v .
 - **Pré-condição**: Veículo e passageiro devem estar no mesmo nó, o veículo deve estar em estado LIVRE e possuir capacidade disponível.
 - **Efeito**: Alteração do estado do veículo para OCUPADO e do estado do pedido para EM_TRANSPORTE.
- **Dropoff(v, p)**: Entrega do passageiro no destino final.
 - **Pré-condição**: O veículo deve estar na localização de destino do pedido p e estar a transportar esse passageiro.
 - **Efeito**: O estado do veículo passa a LIVRE, o pedido é removido da lista P e a recompensa é contabilizada na função de custo.
- **Refuel(v, s)**: Abastecimento ou carregamento na estação s .
 - **Pré-condição**: O veículo deve estar no nó da estação, esta deve ser compatível com o seu motor e o veículo deve estar LIVRE.
 - **Efeito**: O veículo assume o estado A_CARREGAR e a energia $E_{\{curr\}}$ é reposta até ao valor máximo.

2.4. Teste de Objetivo (T)

O estado objetivo é alcançado quando o conjunto de pedidos pendentes é vazio ($P = \emptyset$) e todos os passageiros foram transportados com sucesso aos seus destinos dentro dos **horários pretendidos**. Adicionalmente, nenhum veículo deve terminar a operação com autonomia nula em locais não autorizados.

2.5. Função de Custo da Solução (C)

A qualidade da solução é avaliada por uma função multiobjetivo que procura equilibrar os critérios definidos no enunciado:

1. **Tempo de Resposta**: Minimização do tempo de espera e cumprimento de prazos.
2. **Custos Operacionais**: Minimização do consumo energético (eletricidade/combustível).
3. **Sustentabilidade**: Maximização do uso de elétricos e minimização de emissões de CO₂ (via score ecológico).

A **função de custo $g(n)$** para a travessia de uma aresta (u, v) pondera estes fatores:

$$\text{Custo}_{\text{total}} = \text{Custo}_{\text{base}} \times M_{\text{clima}} \times M_{\text{trânsito}} \times \text{Fator}_{\text{ecológico}}$$

Para os algoritmos informados (**A*** e **Greedy**), utiliza-se uma **heurística $h(n)$** baseada na **Distância de Haversine**, garantindo uma estimativa admissível para a navegação no grafo.

Para informações detalhadas sobre a função de custo e heurística, consultar Secção 4.1.

3. Representação da Cidade e os seus Pontos Críticos

A modelação do ambiente operacional concretizou-se através de uma abstração matemática sob a forma de um grafo dirigido $G = (V, E)$, onde V representa o **conjunto de nós** (localizações geográficas) e E o **conjunto de arestas** (segmentos viários). Esta estrutura, definida nas classes Graph, Node e Edge, permite a representação computacional da rede de transportes de todo o **município de Braga**, essencial para a operação dos veículos autónomos.

3.1. Aquisição e Processamento de Dados Geográficos

A construção do grafo, operacionalizada no módulo `Graph_Generator.py`, recorre à biblioteca `osmnx` para extrair a topologia viária do município (“Braga, Portugal”) a partir do `OpenStreetMap`. Complementarmente, o sistema integra dados em tempo real sobre postos de abastecimento e estações de carregamento via `Overpass API`, assegurando uma representação fiel da infraestrutura crítica disponível.

3.2. Nós e Classificação Zonal

Os nós, instanciados pela classe `Node`, encapsulam atributos semânticos que transcendem as coordenadas espaciais, fundamentais para a lógica de navegação:

- **Tipologia Funcional:** Os nós possuem classificações como `station` (recolha/en-trega), `charge_station` (carregamento elétrico) ou `gas_station` (combustível), permitindo ao sistema identificar os pontos estratégicos para a manutenção da autonomia;
- **Zonamento Dinâmico e Granularidade:** O módulo `ZoneCalc.py` implementa uma lógica de categorização posicional que toma como referência geográfica a **Sé de Braga** ($41.5500, -8.4273$). O algoritmo define duas macro-áreas com granularidades distintas:
 - **Zona Central (Cidade):** Compreende todos os nós num raio de **3.5 km** a partir da Sé. Devido à maior densidade urbana, esta área é subdividida em **8 setores cardeais** (e.g., `center_northeast`, `center_south`), permitindo um controlo preciso sobre as condições ambientais;
 - **Periferia:** Engloba a área restante do município (além dos **3.5 km**). Por apresentar uma malha viária menos densa, a divisão simplifica-se em **4 setores cardeais** (e.g., `periphery_north`, `periphery_west`).

Esta abordagem híbrida permite aplicar coeficientes de custo (tráfego e clima) mais precisos no centro urbano e mais generalistas nas zonas rurais ou periféricas.

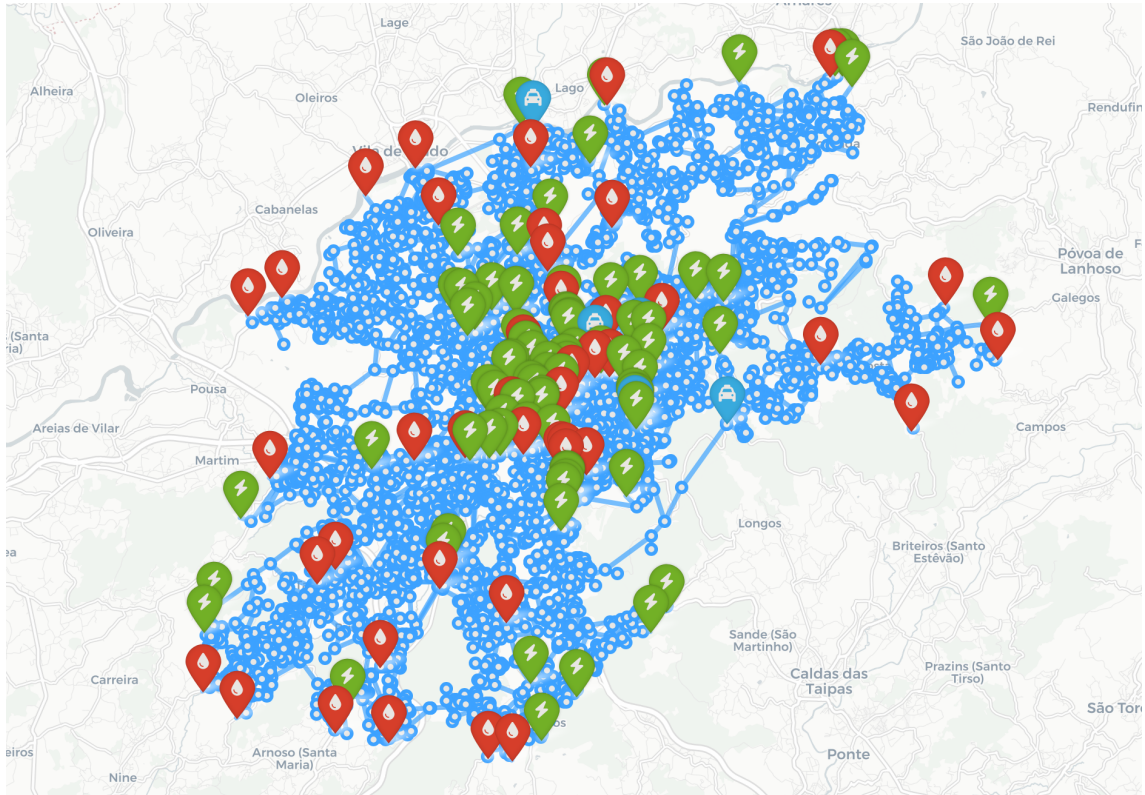


Figura 1: Representação do grafo do município de Braga. Apresenta também a localização de todos os veículos (a azul), postos de carregamento (a verde) e postos de combustível (a vermelho).

3.3. Arestas e Custo de Travessia

As arestas, definidas na classe `Edge`, representam os segmentos de via da rede viária de Braga. Cada aresta possui atributos físicos essenciais como: origem, destino, comprimento (em metros) velocidade máxima permitida e sentido de circulação. Uma característica distintiva do sistema **TaxiGreen** é o parâmetro `edge.ecology`, um **score ecológico** dinamicamente calculado entre 0.0 e 1.0 que quantifica o impacto ambiental de cada segmento viário. Este valor é determinado durante a construção do grafo e considera múltiplos fatores como o tipo de via (e.g., vias residenciais ou pedestres recebem scores mais elevados, enquanto autoestradas e vias principais são penalizadas), presença de infraestruturas cicláveis, e limites de velocidade reduzidos. O sistema aplica ainda uma pequena variação aleatória (± 0.05) para introduzir diversidade nos scores.

4. Desenvolvimento e Comparação de Diferentes Estratégias de Procura

A navegação eficiente na rede viária do município de Braga, modelada por um grafo de dimensão considerável constituído por **8624 nós e 19753 arestas**, exige a implementação de algoritmos de procura robustos. O módulo `Graph.py` disponibiliza um conjunto de **estratégias**, categorizadas em **não-informadas** e **informadas**, que permitem ao sistema ponderar variáveis críticas como o tempo de resposta, a distância percorrida e os custos operacionais (tráfego e clima).

4.1. Formalização Matemática da Função de Custo e Heurística

A precisão dos algoritmos de procura depende intrinsecamente da definição da função de avaliação $f(n) = c(n) + h(n)$. No contexto deste sistema, o custo de uma aresta não representa apenas tempo ou distância, mas um valor híbrido que integra fatores ambientais e operacionais.

Importante: O valor resultante da função de custo é um valor adimensional que serve apenas como função objetivo para comparação entre rotas. É irrelevante o seu valor absoluto, desde que preserve a ordenação correta das alternativas. O sistema apenas requer que valores menores correspondam a rotas preferíveis.

4.1.1. Função de Custo ($c(n)$)

O custo de travessia entre dois nós u e v , denotado por $c(u, v)$, é calculado dinamicamente no momento da expansão da aresta. A fórmula geral é dada por:

$$c(u, v) = [t_{\text{base}}(u, v) * M_{\text{clima}}(u) * M_{\text{tráfego}}(u)] * [1 + \beta * (1 - \eta(u, v))]$$

Onde:

- $t_{\text{base}}(u, v) = \frac{d(u, v)}{\frac{v_{\text{max}(u, v)}}{3.6}}$ representa o **tempo mínimo de viagem** (em segundos), calculado pela razão entre o comprimento da aresta e a sua velocidade máxima convertida para m/s;
- M_{clima} e $M_{\text{tráfego}}$ são **coeficientes dinâmicos** (≥ 1.0) determinados pela zona geográfica do nó de origem u ;
- $\beta = 0.2$ é o **peso atribuído à componente ecológica do sistema**;
- $\eta(u, v) \in [0, 1]$ é o **score ecológico da aresta**, onde valores mais altos indicam rotas mais amigas do ambiente.

Exemplo Numérico: Para uma aresta de 500m com velocidade máxima de 50 km/h, condições de chuva ($M_{clima} = 1.3$), tráfego normal ($M_{trafego} = 1.0$) e score ecológico 0.7, temos: $t_{base} = \frac{500}{\frac{50}{3.6}} = 36s$, $c = 36 \times 1.3 \times [1 + 0.2 \times (1 - 0.7)] = 49.6s$.

Nota: O termo $[1 + \beta * (1 - \eta(u, v))]$ atua como multiplicador ecológico, variando entre 1.0 (rota perfeitamente ecológica) e 1.2 (rota não-ecológica).

4.1.2. Função Heurística ($h(n)$)

Para garantir a admissibilidade e a consistência necessárias ao algoritmo A*, a heurística $h(n)$ estima o custo restante até ao nó objetivo (*goal*) baseando-se no cenário mais otimista possível: uma deslocação em linha reta à velocidade máxima permitida na rede.

$$h(u, v) = \frac{D_{\text{Haversine}(u, v)}}{\frac{v_{\text{global_max}}}{3.6}}$$

Onde:

- $D_{\text{Haversine}(u, v)}$ calcula a **distância (em metros) do grande círculo** (em linha reta sobre a superfície terrestre) entre o nó atual e o destino, em quilómetros;
- $v_{\text{global_max}}$ corresponde à **maior velocidade registada em qualquer aresta do grafo** (e.g., 120 km/h em autoestrada);
- 3.6 é o **fator de conversão** de km/h para ms/s.

Admissibilidade: A heurística considera apenas o componente temporal mínimo ideal, ignorando os fatores operacionais, ecológicos e ambientais (assumindo condições perfeitas). Como o custo real inclui sempre valores não-negativos para esses componentes multiplicativos, temos garantidamente $h(u, v) \leq c(u, v)$, preservando a admissibilidade da heurística.

4.2. Estratégias de Procura Não-Informada

Esta classe de algoritmos explora o espaço de estados sem recorrer a estimativas sobre a localização do objetivo, baseando a decisão exclusivamente na estrutura topológica e nos custos acumulados das arestas.

- **Busca em Profundidade (DFS):** O algoritmo expande a rota linearmente até atingir um limite de profundidade ou um “beco sem saída”. Devido à sua natureza, **raramente encontra a solução ótima** e tende a produzir **caminhos excessivamente longos** e irregulares. A sua utilidade no projeto restringe-se à validação da conectividade entre nós isolados;

- **Busca em Largura (BFS):** Explora o grafo em camadas concêntricas, o que garante a descoberta do caminho com o **menor número de arestas** (saltos). No entanto, **ignora o peso das ligações** (custo temporal ou energético), o que resulta frequentemente na seleção de **rotas mais lentas** que atravessam zonas urbanas densas, em detrimento de vias rápidas periféricas;
- **Custo Uniforme (UCS):** Prioriza a expansão do nó com o menor custo acumulado total ($g(n)$). Esta abordagem **assegura**, matematicamente, a **identificação da rota ótima** (de menor custo ponderado). Contudo, o processo de exploração radial obriga à **análise de um número elevado de nós** em todas as direções, o que penaliza o tempo de computação em trajetos de longa distância.

4.3. Estratégias de Procura Informada

Para otimizar o desempenho computacional, estas estratégias incorporam uma função heurística ($h(n)$) para orientar a procura na direção do objetivo, reduzindo drasticamente o número de nós analisados. A **heurística implementada define-se como o tempo mínimo teórico de viagem** em linha reta até ao destino, calculado com base na velocidade máxima global permitida na rede. Esta abordagem garante a admissibilidade da heurística, condição essencial para a optimalidade do algoritmo A*.

- **Greedy Best-First:** Seleciona o nó sucessor que aparenta estar mais próximo do destino, negligenciando o custo do trajeto já efetuado. Embora apresente **tempos de resposta extremamente baixos**, a ausência de ponderação do custo real conduz frequentemente a **soluções sub-ótimas** e a “armadilhas” locais em zonas de custo elevado (e.g., congestionamento);
- **A* (A-Star):** Combina o custo real ($g(n)$) com a estimativa heurística ($h(n)$) através da função de avaliação $f(n) = g(n) + h(n)$. Ao utilizar uma heurística admissível (tempo mínimo teórico calculado com a velocidade máxima global da rede), o algoritmo A* garante a **mesma solução ótima do Custo Uniforme**, mas com uma **redução significativa no espaço de procura**, constituindo a escolha padrão para a operação dos veículos;
- **Weighted A*:** Uma variante implementada que aplica um fator de ponderação à heurística ($w > 1$), no nosso caso $w = 1.5$. Esta técnica **sacrifica**, ligeiramente, a **garantia estrita de otimalidade** em favor de uma **convergência mais rápida** para o destino, útil em situações de elevada carga no servidor onde o tempo de resposta é prioritário.

5. Implementação do Sistema de Simulação Dinâmica

5.1. Arquitetura e Comunicação do Sistema

O sistema *TaxiGreen* implementa uma arquitetura cliente-servidor baseada em **comunicação TCP/IP através de sockets**. O cliente oferece uma **interface terminal** desenvolvida com a biblioteca *Rich*, apresentando elementos visuais como painéis, tabelas e menus interativos de forma organizada e visualmente apelativa. A comunicação estabelece-se através de uma conexão persistente na porta 8888, utilizando **serialização com pickle** para transmitir estruturas de dados complexas entre os componentes. Esta abordagem permite uma **separação clara entre a interface do utilizador e a lógica de simulação**, com um protocolo de comando-resposta bem estruturado.

5.2. Dinâmica de Simulação e Comportamento do Sistema

A simulação destaca-se pela geração aleatória de pedidos de viagem que ocorrem durante a execução, **simulando a chegada imprevisível de clientes** típica dos sistemas reais de transporte. Estes pedidos complementam os criados manualmente pelos utilizadores, criando um **fluxo contínuo de atividade**. A autonomia dos veículos é gerida dinamicamente, ou seja, cada **veículo consome energia proporcionalmente à distância percorrida**, e quando atinge níveis críticos, o sistema, automaticamente, **inicia procedimentos de recarga/ reabastecimento**. Condições ambientais variáveis, como meteorologia e tráfego, afetam os tempos de viagem através de multiplicadores aplicados às rotas, permitindo simular diferentes cenários urbanos.

5.3. Funcionalidades Principais da Interface

A interface organiza-se em oito funcionalidades principais:

1. **“Nova Viagem Manual”**: Permite criar pedidos específicos indicando origem, destino, número de passageiros e preferência pelo modo ecológico, com validação automática dos nodos;
2. **“Estado da Frota”**: Mostra informações detalhadas sobre todos os veículos, incluindo localização, autonomia, tipo de motor e estado operacional, com codificação visual por cores;
3. **“Estado dos Pedidos”**: Apresenta todas as viagens em curso, pendentes ou concluídas, com detalhes sobre atribuição de veículos, distâncias e tempos estimados;

4. “**Mapa de Rotas**”: Gera mapas interativos do município de Braga em HTML com representação de todos os nós, arestas, viaturas, postos de abastecimento e postos de carregamento representados de forma simples e apelativa;
5. “**Alterar Algoritmo**”: Oferece seis opções de *pathfinding* (DFS, BFS, UCS [*Uniform Cost Search*], Greedy, A* e Weighted A*) com diferentes compromissos entre velocidade e otimalidade, alteráveis em tempo real;
6. “**Condições Ambientais**”: Configura parâmetros como meteorologia, tráfego e zonas de aplicação para simular diferentes cenários operacionais;
7. “**Gerar Relatórios**”: Exporta dados do sistema para ficheiros CSV estruturados, facilitando análise posterior e processamento estatístico;
8. “**Dashboard do Sistema**”: Consolida métricas-chave de desempenho numa vista agregada, mostrando o estado geral da operação.

5.4. Gestão de Concorrência e Estado do Sistema

O servidor opera com uma **arquitetura multithreaded** que permite a simulação principal e o atendimento de múltiplos clientes a funcionarem em paralelo. A **simulação corre numa thread** dedicada que processa eventos a cada 3 segundos, gerando pedidos aleatórios, processando os pendentes, atribuindo veículos e gerindo a autonomia da frota. Isto garante que a interface responde rapidamente, independentemente da carga de processamento.

Um **buffer de pedidos**, baseado em `queue.Queue`, sincroniza as *threads*, **recebendo pedidos manuais e automáticos** que são depois processados na ordem de chegada. Mecanismos de **locking protegem o acesso a dados partilhados** durante operações críticas como atribuição de veículos ou atualização de autonomias.

Cada cliente conectado tem uma thread dedicado para comunicação, permitindo múltiplos utilizadores simultâneos sem bloquear a simulação principal. O sistema também mantém um histórico automático de rotas e cancela pedidos que excedem tentativas de atribuição, prevenindo acumulação. Esta arquitetura modular resulta num sistema robusto que **suporta operação contínua com vários utilizadores**, mantendo consistência no estado da simulação e oferecendo uma experiência interactiva fluida.

6. Avaliação da Eficiência dos Algoritmos

Esta secção apresenta a **análise quantitativa das estratégias de procura**, transitando de uma avaliação baseada na simulação global para uma metodologia de **benchmarking isolado**. Esta abordagem visa extrair métricas de baixo nível (tempo de CPU e memória), eliminando a variabilidade introduzida pela latência de rede ou pela renderização gráfica da interface.

6.1. Metodologia de Teste e Métricas

A avaliação foi realizada recorrendo ao *script* dedicado `benchmark_algoritmos.py`, desenvolvido para testar a classe `Graph` de forma isolada. O procedimento consistiu na execução de 100 iterações de rotas aleatórias, mantendo os pares origem/destino constantes para todos os algoritmos em cada iteração, assegurando a comparabilidade direta dos resultados.

As métricas foram recolhidas utilizando as bibliotecas `time` (relógio monotônico de alta precisão) e `tracemalloc` do Python:

- **Tempo de Execução (ms)**: Tempo médio de processamento para calcular uma rota;
- **Memória de Pico (KB)**: Máximo de memória RAM alocada durante a execução;
- **Custo do Caminho**: Custo acumulado da solução retornada (ponderado por tempo, tráfego e ecologia);
- **Passos (*Hops*)**: Número de nós que compõem o caminho final;
- **Eficiência (vs Ótimo)**: Desvio percentual do custo encontrado face ao melhor custo possível.

6.2. Análise Comparativa e Otimizações

A análise dos resultados evidencia o impacto crítico das otimizações de engenharia de *software* na materialização da eficiência teórica dos algoritmos.

6.2.1. Desempenho do A* (*A-Star*) vs. Custo Uniforme (UCS)

Teoricamente, o algoritmo A* é mais eficiente que o **Custo Uniforme** por expandir um menor número de nós, guiado pela heurística. No entanto, em implementações simples, o custo computacional de calcular a heurística $h(n)$ (neste caso, a fórmula de *Haversine* com múltiplas operações trigonométricas) pode ser superior ao ganho obtido pela redução dos nós, tornando o A* **mais lento** em tempo de relógio.

Neste projeto, este **obstáculo foi superado** através da implementação de uma **Cache de Heurística ($O(1)$)** e de uma versão nativa do algoritmo.

- **Impacto da Otimização:** Ao eliminar o recálculo repetitivo de distâncias geográficas, o custo de processamento por nó do **A*** aproximou-se do custo do **UCS**, sendo normalmente o mesmo;
- **Resultado Final:** Com a penalização computacional da heurística mitigada, a **vantagem algorítmica do A*** (menor espaço de procura) traduziu-se num **ganho efetivo** de desempenho. O **A*** (59.54 ms) superou o **Custo Uniforme** (63.30 ms) em velocidade, mantendo a garantia matemática de otimalidade.

6.2.2. *Weighted A* vs. Greedy*

- **Greedy Best-First:** Apresentou-se como o **algoritmo mais rápido (3.05 ms)**, dado que ignora o custo acumulado e avança sofregamente para o objetivo. Contudo, a qualidade da solução é **severamente penalizada**, com um custo médio 27.5% superior ao ótimo, tornando-o inviável para rotas que exijam eficiência energética ou temporal;
- **Weighted A ($\varepsilon = 1.5$ e $\varepsilon = 2.0$):** As variantes ponderadas revelaram-se a grande surpresa do *benchmark*, dominando o compromisso entre rapidez e qualidade:
 - **Com $\varepsilon = 1.5$,** o tempo reduziu para metade (29.10 ms) face ao A* padrão;
 - **Com $\varepsilon = 2.0$,** o algoritmo atingiu um tempo de **19.63 ms** (3x mais rápido que o A*), mantendo, surpreendentemente, o **Custo Ótimo (559.2)** em todos os testes.

Análise: Embora teoricamente o **Weighted A*** **sacrifice a otimalidade por velocidade**, a topologia de Braga permitiu que a versão $\varepsilon = 2.0$ convergisse rapidamente para a solução ideal sem desvios, tornando-a a estratégia mais eficiente do sistema para operação em tempo real.

6.2.3. Estratégias de Base (BFS e DFS)

- **BFS (Breadth-First Search):** Garante o **caminho com menos arestas**, mas não o mais rápido. O custo temporal das rotas foi **31.8% superior** ao ótimo, demonstrando que o caminho mais “curto” em nós frequentemente atravessa zonas urbanas lentas ao invés de vias rápidas;
- **DFS (Depth-First Search):** Confirmou-se **inadequado para a navegação em grafos complexos**, com custos **2056% superiores** ao ótimo e tempos de execução elevados, servindo apenas para validação de conectividade.

6.3. Resultados Obtidos

Os dados recolhidos durante a fase de *benchmark* foram consolidados na Tabela 2 e podem ser visualizados na Figura 2. Estes elementos permitem uma análise multidimensional que contrapõe a precisão matemática dos custos com a realidade da execução computacional.

Algoritmo	Sucesso	Tempo (ms)	Memória (KB)	Custo	Passos	Eficiência
A*	100%	59.54	504.5	559.2	65.9	Ótimo
<i>Uniform Cost</i>	100%	63.30	670.4	559.2	65.9	Ótimo
Weighted A* ($\epsilon = 1.5$)	100%	29.10	738.3	559.2	65.9	Ótimo
Weighted A* ($\epsilon = 2.0$)	100%	19.63	752.7	559.2	65.9	Ótimo
Greedy	100%	3.05	91.8	712.7	71.6	+27.5%
BFS	100%	48.62	418.2	737.1	44.1	+31.8%
DFS	100%	115.41	23,776.8	12,056.7	1314.0	+2056%

Tabela 2: Comparação de Desempenho Algorítmico (Média de 100 iterações).

Para facilitar a interpretação do compromisso (*trade-off*) entre **velocidade** e **otimização**, o gráfico de dispersão abaixo posiciona cada algoritmo num plano cartesiano, onde a proximidade à origem (canto inferior esquerdo) representa o desempenho ideal.

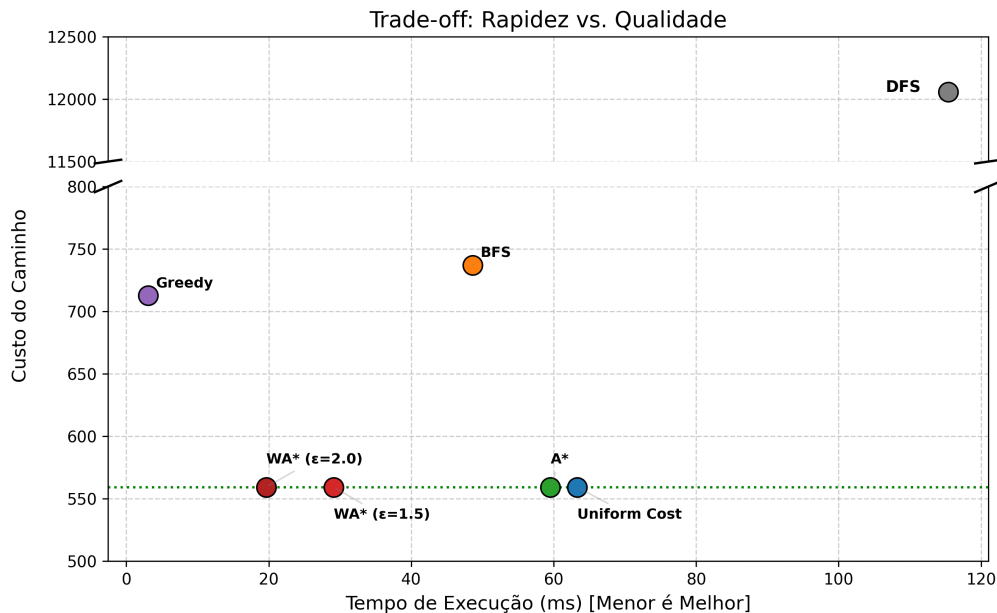


Figura 2: **Trade-off:** O Weighted A* ($\epsilon = 2.0$) atinge o desempenho ideal, combinando a solução ótima com um tempo de execução 3 vezes inferior ao A* padrão.

6.3.1. Interpretação dos Resultados

A disposição dos algoritmos na Figura 2 permite identificar claramente três grupos de desempenho distintos:

- **A Fronteira de Eficiência (*Weighted A** e *A**):** O destaque vai para o ***Weighted A**** com $\varepsilon = 2.0$ (ponto vermelho escuro), que se revelou a estratégia superior. Alcançou o **custo ótimo (559.2)** num tempo recorde de **19.63 ms**, superando largamente o ***A* padrão (59.54 ms)***. Isto prova que, nesta topologia, uma heurística mais agressiva consegue acelerar a convergência sem sacrificar a qualidade da solução;
- **A Garantia Clássica (*Uniform Cost*):** O Custo Uniforme (ponto azul) situa-se **próximo do *A****, mas com um **ligeiro atraso temporal (63.30 ms)**. Embora robusto, a sua natureza não-informada obriga-o a explorar uma franja maior de nós para garantir a mesma otimalidade que o *A** atinge mais rapidamente;
- **Velocidade vs. Qualidade (*Greedy* e *BFS*):**
 - O ***Greedy*** (ponto roxo) é o **extremo da rapidez ($\sim 3 \text{ ms}$)**, mas paga um preço alto pela sua rapidez de julgamento: um **agravamento de +27.5%** no custo da viagem;
 - O ***BFS*** (ponto laranja), embora **razoavelmente rápido (48 ms)**, apresenta resultados **ainda piores (+31.8% de custo)** por ignorar totalmente os pesos das arestas (tráfego e ecologia), preferindo rotas com menos cruzamentos mas potencialmente mais lentas.
- **Ineficiência Extrema (*DFS*):** A quebra de escala no eixo vertical é necessária exclusivamente para acomodar o ***DFS*** (ponto cinzento). Com custos superiores a **12.000 (vs 559.2 do ótimo)**, este algoritmo comporta-se como um *outlier* estatístico, percorrendo caminhos erráticos e validando a necessidade de métricas de custo orientadas.

7. Simulação de Condições Dinâmicas

A robustez de um sistema de gestão de frotas não é medida apenas pela sua eficiência em condições ideais, mas pela sua capacidade de adaptação a imprevistos e variações ambientais. O módulo `ambient.py` atua como o “**motor de caos**” da simulação, introduzindo perturbações aleatórias que obrigam os agentes a recalcular rotas e a tomar decisões táticas em tempo real. A implementação destas dinâmicas baseia-se em três pilares fundamentais: a variação de custos de travessia (trânsito e clima), a falibilidade da infraestrutura e a imprevisibilidade da procura.

7.1. Modelação de Trânsito e Fenómenos Atmosféricos

Ao contrário de abordagens estáticas onde o custo de uma aresta é constante, o modelo implementa um sistema de **multiplicadores zonais dinâmicos**. Em vez de alterar o custo de cada aresta individualmente, o que seria computacionalmente proibitivo num grafo com milhares de arestas, o sistema utiliza a lógica de zonas definida em `ZoneCalc.py`.

A função de custo $g(n)$ em `Graph.py` foi desenhada para consultar estes multiplicadores em tempo de execução:

$$\text{Custo}_{\text{total}} = \text{Custo}_{\text{base}} \times M_{\text{clima}} \times M_{\text{trânsito}} \times \text{Fator}_{\text{ecológico}}$$

Onde:

- M_{clima} é o **multiplicador dos acontecimentos climáticos**;
- $M_{\text{trânsito}}$ é o **multiplicador dos acontecimentos do tráfego**;
- M_{clima} e $M_{\text{trânsito}}$ são **geridos dinamicamente** por zona (e.g., `center_north`, `periphery_west`);
- As funções `update_traffic` e `update_weather` permitem **alterar estes escalares globalmente para uma zona**, simulando, por exemplo, um congestionamento súbito no centro da cidade ou chuvas fortes na periferia que obrigam a uma redução da velocidade média.

Esta abordagem permite simular cenários onde o caminho geograficamente mais curto (Heurística de *Haversine*) deixa de ser o mais rápido devido a um engarrafamento severo ($M_{\text{trânsito}} > 2.0$), **forçando o algoritmo A^* a explorar rotas alternativas** menos congestionadas.

7.2. Falhas na Infraestrutura de Carregamento

A disponibilidade das estações de carregamento e postos de combustível não é garantida. O **sistema simula falhas técnicas ou ocupação total** através da função `update_station_availability`.

Quando uma estação fica inutilizável (sinalizada como **INDISPONÍVEL**):

1. O objeto `FuelStation` correspondente é **marcado como indisponível**.
2. Os algoritmos de procura, **ao avaliarem a ação Refuel**, verificam esta *flag*.
3. Se um veículo tinha planeado uma rota para essa estação, o sistema obriga a um re-planeamento para a estação funcional mais próxima, **testando a resiliência da autonomia restante** do veículo.

7.3. Geração Aleatória de Pedidos

Para avaliar a capacidade de resposta da frota, a função `generate_random_request` introduz novos pedidos no sistema de forma assíncrona. Estes pedidos variam em:

- **Localização:** Origem e destino aleatórios dentro dos nós válidos do grafo;
- **Prioridade:** Diferentes níveis de urgência que afetam a função de utilidade da alocação;
- **Preferências:** Inclusão de requisitos de sustentabilidade (preferência por veículos elétricos) e janelas temporais de espera (`max_wait_time`).

Esta injeção contínua de objetivos impede que o sistema atinja um estado estático, exigindo que o algoritmo de escalonamento **resolva continuamente um problema de *Online Bipartite Matching*** entre a frota disponível e a lista de pedidos pendentes.

8. Sumário e Discussão dos Resultados Obtidos

O presente trabalho permitiu desenvolver e avaliar um sistema integrado de simulação dinâmica para gestão inteligente de uma frota de táxis urbanos, com ênfase na sustentabilidade ambiental e na eficiência operacional. A implementação foi estruturada em torno de três pilares fundamentais: a **modelação realista da rede viária** do município de Braga, o **desenvolvimento e comparação de estratégias de procura** aplicadas à navegação veicular, e a **criação de uma plataforma de simulação** interativa e dinâmica.

A representação computacional da cidade sob a forma de um grafo demonstrou ser um **modelo adequado para simular a complexidade de uma rede de transportes** urbana. A classificação zonal híbrida, com granularidade diferenciada entre a **zona central (8 setores)** e a **periferia (4 setores)**, revelou-se uma abordagem eficaz para aplicar fatores ambientais de forma realista e escalável. A inclusão de um **score ecológico** dinâmico, para cada segmento viário, **permitiu integrar critérios de sustentabilidade** diretamente no cálculo das rotas, alinhando o sistema com os objetivos ambientais contemporâneos.

A avaliação comparativa dos algoritmos de procura evidenciou o equilíbrio fundamental entre otimalidade da solução e eficiência computacional. O **algoritmo A* destacou-se como a escolha mais equilibrada**, combinando a garantia de otimalidade do Custo Uniforme com uma convergência significativamente mais rápida, graças à utilização de uma **heurística admissível baseada na distância geodésica**. Este desempenho foi particularmente relevante no contexto dinâmico da simulação, onde a necessidade de processar múltiplos pedidos simultaneamente exigia algoritmos com tempos de resposta reduzidos. O **Weighted A*** demonstrou ser uma alternativa viável para cenários com restrições computacionais mais exigentes, oferecendo uma convergência ainda mais rápida com um compromisso aceitável na otimalidade.

A **arquitetura cliente-servidor baseada em TCP/IP** e a **interface gráfica via terminal** desenvolvida com a biblioteca *Rich* proporcionaram uma experiência de utilização intuitiva e profissional, **permitindo aos operadores interagir com o sistema eficazmente**. A capacidade de gerar mapas interativos em HTML e relatórios estruturados em CSV ofereceu ferramentas valiosas para análise e tomada de decisão. A **implementação multithreaded** no servidor **garantiu que a simulação principal e o atendimento a múltiplos clientes pudessem funcionar em paralelo**, resultando num sistema responsivo e robusto.

Os **mecanismos de simulação dinâmica**, incluindo a **geração aleatória de pedidos**, a **gestão proativa da autonomia** dos veículos e a **modelação de condições ambientais** variáveis, conferiram ao sistema um elevado grau de realismo, permitindo simular cenários operacionais complexos e avaliar a resiliência do sistema sob diferentes condições. A **capacidade de alterar dinamicamente os parâmetros da simulação**, incluindo o algoritmo de *pathfinding* e as condições ambientais, **transformou a plataforma numa ferramenta versátil** para análise de diferentes estratégias operacionais.

Em conclusão, o sistema ***TaxiGreen*** demonstrou ser uma **plataforma funcional e realista para a simulação de sistemas de transporte urbano**, integrando conceitos avançados de Inteligência Artificial, computação distribuída e sustentabilidade ambiental. O trabalho realizado oferece assim uma base sólida para investigação futura em sistemas inteligentes de mobilidade urbana.

9. Anexos

9.1. Anexo A - Diagrama de Classes

O sistema **TaxiGreen** segue uma arquitetura orientada a objetos modular, onde a lógica de simulação é centralizada, mas as entidades mantêm responsabilidades específicas. A figura abaixo ilustra as principais classes e os seus relacionamentos.

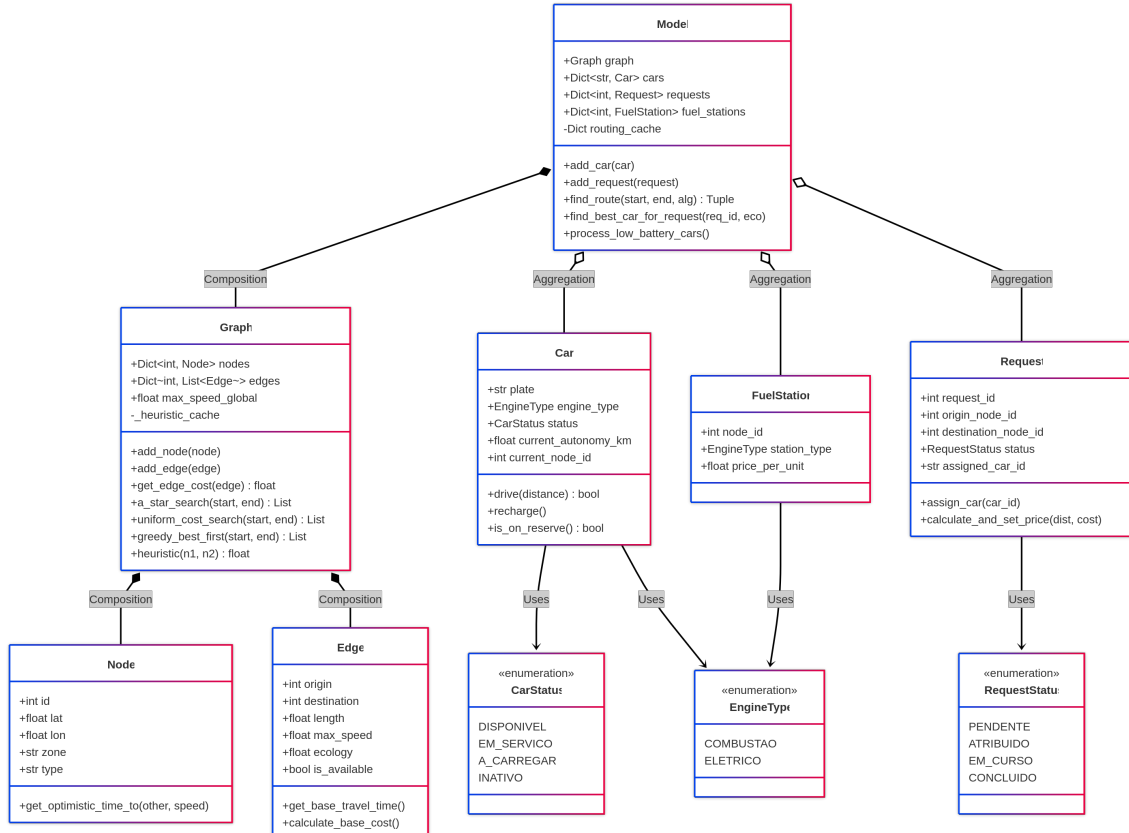


Figura 3: Diagrama de Classes UML do sistema TaxiGreen, evidenciando a relação entre o Modelo central, o Grafo topológico e as entidades móveis (Carros e Pedidos).

Descrição dos Componentes Principais:

- **Model**: A classe central que gera o estado da simulação (carros, pedidos, estações) e mantém a `routing_cache` para otimizar o desempenho das proezas;
- **Graph**: Encapsula a rede viária (Nós e Arestas) e implementa a lógica de *pathfinding* (e.g., A*, UCS) e o cálculo de custos dinâmicos;
- **Car**: Representa os agentes móveis, gerindo a autonomia, o estado operacional (`CarStatus`) e a validação de capacidade para os pedidos;

- **Request:** Modela o ciclo de vida do serviço, desde a criação (PENDENTE) até à conclusão, incluindo o cálculo automático do preço da viagem;
- **FuelStation:** Define os pontos de reabastecimento no grafo, tipificados por motor (Elétrico/Combustão), essenciais para a gestão de energia da frota.

9.2. Anexo B - *Script de Benchmarking*

O script `benchmark_algoritmos.py` foi desenvolvido para isolar e testar o desempenho da classe `Graph` e dos algoritmos de procura. O teste executa 100 iterações com pares origem-destino aleatórios (mas consistentes entre algoritmos na mesma iteração) e utiliza as bibliotecas `time` (relógio monotônico) e `tracemalloc` para medição precisa de recursos.

```

1 import sys
2 import os
3 import time
4 import random
5 import tracemalloc
6 import statistics
7 from rich.console import Console
8 from rich.table import Table
9 from rich.progress import track
10
11 # Configuração de caminhos para importação dos módulos do projeto
12 BASE_DIR = os.path.dirname(os.path.abspath(__file__))
13 if BASE_DIR not in sys.path:
14     sys.path.append(BASE_DIR)
15
16 try:
17     from src.models.Graph import Graph
18     from src.models.Model import Model
19     from src.simulation.data_loader import load_nodes, load_edges
20 except ImportError as e:
21     print(f"Erro de importação: {e}")
22     sys.exit(1)
23
24 console = Console()
25
26 def run_benchmark(iterations: int = 100):
27     """
28         Executa testes de performance comparativa nos algoritmos de procura.
29         Métricas: Tempo (ms), Memória (KB), Custo, Passos, Taxa de Sucesso.
30     """
31     # 1. Inicialização do Grafo
32     graph = Graph()

```

```

33     nodes_path = os.path.join(BASE_DIR, 'data', 'nodes.csv')
34     edges_path = os.path.join(BASE_DIR, 'data', 'edges.csv')
35
36     # Carregar dados (nodes e edges)
37     load_nodes(graph, nodes_path)
38     load_edges(graph, edges_path)
39
40     # Inicializar Modelo
41     model = Model(graph)
42     node_ids = list(graph.nodes.keys())
43
44     # 2. Definição dos Algoritmos a testar
45     algorithms = [
46         "bfs", "dfs", "uniform_cost",
47         "greedy", "weighted_a_star", "a_star"
48     ]
49
50     # Estrutura para guardar resultados
51     results = {alg: {'time': [], 'memory': [], 'cost': [],
52                      'path_len': [], 'success': 0} for alg in
53                      algorithms}
54
55     # 3. Geração de Cenários de Teste (Pares Origem -> Destino)
56     test_cases = []
57     for _ in range(iterations):
58         start = random.choice(node_ids)
59         end = random.choice(node_ids)
60         while start == end:
61             end = random.choice(node_ids)
62         test_cases.append((start, end))
63
64     # 4. Execução dos Testes
65     for alg in algorithms:
66         for start_node, end_node in track(test_cases,
67                                         description=f"Testando {alg.upper()}..."):
68             # Limpar cache para forçar cálculo real
69             if hasattr(model, '_clear_cache'):
70                 model._clear_cache()
71
72             # Iniciar medição de recursos
73             tracemalloc.start()
74             start_time = time.perf_counter() # Relógio de alta precisão
75
76             # Executar Procura
77             path, cost, dist = model.find_route(start_node, end_node,
78                                                algorithm=alg)

```

```

77
78         end_time = time.perf_counter()
79         _, peak_mem = tracemalloc.get_traced_memory()
80         tracemalloc.stop()
81
82         # Processamento de Métricas
83         execution_time_ms = (end_time - start_time) * 1000
84         peak_memory_kb = peak_mem / 1024
85
86         if path:
87             results[alg]['success'] += 1
88             results[alg]['time'].append(execution_time_ms)
89             results[alg]['memory'].append(peak_memory_kb)
90             results[alg]['cost'].append(cost)
91             results[alg]['path_len'].append(len(path))
92
93     # 5. Apresentação (Output em Tabela Rich omitido para brevidade)
94     # ... (código de geração da tabela de resultados omitido) ...
95
96 if __name__ == "__main__":
97     run_benchmark(iterations=100)

```

9.3. Anexo C - Estudo da Heurística e Otimização

A análise inicial de desempenho revelou um fenómeno inesperado. Embora o algoritmo A* expandisse menos nós que a Procura de Custo Uniforme (UCS), o seu tempo de execução era superior ($\sim 84\text{ms}$ vs $\sim 60\text{ms}$). Este anexo detalha o diagnóstico e a solução de otimização implementada.

9.3.1. O Problema: Custo Computacional da Heurística

A função heurística $h(n)$ utilizada baseia-se na **distância de Haversine** (distância geodésica numa esfera), cuja fórmula envolve múltiplas operações trigonométricas pesadas (senos, cossenos, raízes quadradas e arco-tangentes):

$$a = \sin^2\left(\frac{\Delta\varphi}{2}\right) + \cos(\varphi_1) \cdot \cos(\varphi_2) \cdot \sin^2\left(\frac{\Delta\lambda}{2}\right)$$

$$c = 2 \cdot \text{atan2}\left(\sqrt{a}, \sqrt{1-a}\right)$$

$$d = R \cdot c$$

Numa procura típica, esta função é chamada milhares de vezes. O tempo de CPU gasto nestes cálculos trigonométricos **anulava o ganho obtido pela redução do espaço de procura** (menos nós visitados).

9.3.2. A Solução: Cache de Heurística ($O(1)$)

Dado que a localização geográfica dos nós é estática durante a simulação, a distância heurística entre qualquer par de nós (u, v) é constante. Implementou-se uma estratégia de **memorization** na classe Graph:

```
1 # Otimização implementada em src/models/Graph.py
2 def heuristic(self, node1_id, node2_id):
3     # Chave única para o par de nós
4     cache_key = (node1_id, node2_id)
5
6     # Verificação  $O(1)$  antes de calcular
7     if cache_key in self._heuristic_cache:
8         return self._heuristic_cache[cache_key]
9
10    # ... cálculo pesado (Haversine) ...
11
12    self._heuristic_cache[cache_key] = result
13    return result
```

python

9.3.3. Impacto nos Resultados

A introdução da *cache* eliminou a redundância de cálculos, reduzindo a complexidade prática da heurística para um simples acesso a um dicionário (*Hash Map*).

Métrica	Antes da Otimização	Depois da Otimização	Melhoria
Tempo Médio (A*)	84.00 ms	59.54 ms	-29.1%
Comparação vs UCS	Mais Lento (+39%)	Mais Rápido (-6%)	<i>Inversão de Liderança</i>

Tabela 3: Impacto quantitativo da otimização da heurística no desempenho do algoritmo A*.

Conclusão: Com a otimização, o sistema capitalizou a vantagem teórica do A* (menor número de nós expandidos) sem sofrer a penalização computacional da trigonometria, tornando-o o algoritmo ótimo mais rápido do sistema.

10. Bibliografia

- [1] S. Russell e P. Norvig, *Artificial Intelligence: A Modern Approach*, 4.º ed. Pearson, 2020.
- [2] G. Boeing, «OSMnx: New methods for acquiring, constructing, analyzing, and visualizing complex street networks», *Computers, Environment and Urban Systems*, vol. 65, pp. 126–139, 2017.
- [3] Python Software Foundation, «tracemalloc – Trace memory allocation», Python 3.13 Documentation. [Em linha]. Disponível em: <https://docs.python.org/3/library/tracemalloc.html>
- [4] OpenStreetMap Contributors, «Planet dump». [Em linha]. Disponível em: <https://planet.osm.org/>
- [5] W. McGugan, «Rich: A Python library for rich text and beautiful formatting in the terminal». [Em linha]. Disponível em: <https://github.com/Textualize/rich>